

III-1 やわい砂層におけるワイの支持力試験

九州産業大学 正員 石堂 純
 " " 〇野間口 明義
 三信基礎工業 " 後藤 豊典

1.はじめに 本文はワイ支持力を室内の模型グイおよび現地の実物大のワイについて行なった載荷試験結果について検討したものである。室内、現地とも造成した砂層で相対密度は(室内=1/2~2/3 現地=0.60)程度であり、またワイ断面積の影響についても合わせて検討した。

2.実験

a) 室内試験 100×100×100^{mm}の土槽に気乾相馬砂をつめ断面積一定 ($A=19.625\text{cm}^2$) $D_p/B=12$ 、模型グイ(三角、四角、円形の本グイ)を打込み1^{mm}/minの速度で載荷した。試験後に貫入速度10^{cm}/minの速度でコーンテスト(先端角 30°, 径 28^{mm})を行なった。

b) 現地試験 6×6×4^mのテストピットに決砂をつめ、断面積=0.0676^m²、根入長=2.7^mのベイマツのワイ(三角、四角、六角、八角、十字)を二木樁で打込んだ。試験の前後で二重管コーンテストを行ない、載荷は1/100^{mm}/min以下の沈下で2とづつ増荷した。砂の性質は表-1に示す通りである。

3.実験結果の考察

極限支持力は $Q_u = Q_p + Q_s = A_p \cdot r \cdot D_p \cdot N_p + \int_{0,2} r \cdot K_u \cdot dA \dots (1) = \alpha \cdot \gamma_c \cdot A_p + \int_{0,2} \alpha \cdot \gamma_c \cdot dA \dots (2)$ とおける。断面積の差を問わず先端抵抗は一定とし(2)式で計算すると、室内試験での支持力は破線のようにになる。これは試験前の密度に対応する内部摩擦角から計算したもので支持層のばいときでも D_p/B を考えたときと近似している。また断面形状による差はほとんど判別できない程度であり、浅い基礎で考えられるような形状効果は顕著ではない。

表-1 試験砂の物性

- A) 相馬標準砂
 $\gamma_s = 2.644$
 $C_u = 1.26$
 $C_g = 0.76$
- 三軸試験による $r-\phi$
 α_d (1/cm²) ϕ (度)
 1.45 30.2°
 1.50 36.0°
 1.60 38.8°
 1.65 45.0°
- B) 福岡市和自砂
 $\gamma_s = 2.626$
 $C_u = 1.05$
 $C_g = 0.13$
- 直接せん断試験(砂樁部)
 $\alpha_d = 1.6$ (1/cm²) $\phi = 38.5^\circ$

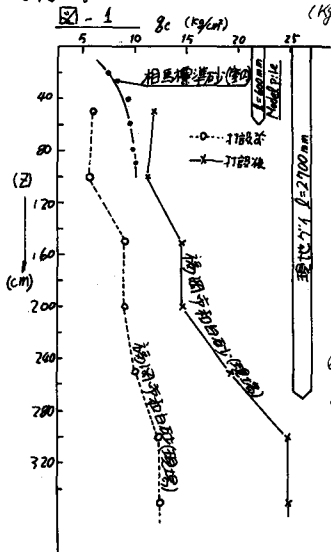


図-2 Q_u と γ_d の実測値と計算値

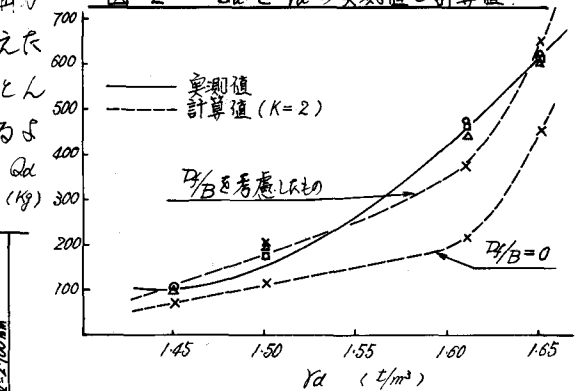


図-3 Q_s の実測値と計算値

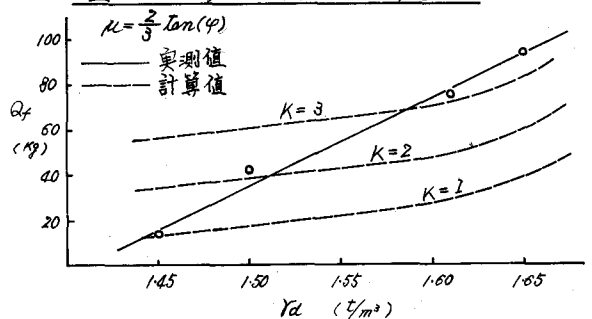


図-3は引抜き時の抵抗を示したが、土圧係数を変えて試算した値と比較すれば、密度の小さいときは土圧係数が小さくなるのが分かる。また図-4に示すように Q_c 中に占める Q_u の割合は密度の小さいときは大きいが、土圧係数を一定として計算する場合は Q_u を過大評価する可能性をもっている。引抜きと押し込みとは挙動に差があることも考えられるが、 K 、 μ の決定にはよほど留意する必要がある。

図-5は現地における実測値であり、各断面形とも近似した挙動を示している。見方によつては角数の多い断面ほど支持力が大きくはなっている(図-6)。断面形が異なる場合は同じ排土量であつてもその方向や位置による均一性に差を生じることが考えられるので、厳密には Q_c や Q_u は異なつてくるといえるが、室内試験と同様顕著な差をみることはできない。

いま打設後の β を用いて(2)式で $\alpha_1=2$ 、 $\alpha_2=1/200$ として円形の場合の Q_c を求め比較すると、各 Γ の値はその前後の値になる。打設前の β を用いるとすれば誤差は大きく、考慮する点がある。

Q_u/Q_c は室内、現地試験共約75%であり、 Q_c 、 Q_u を与える沈下量は平均直径の約 $1/3$ および $1/4$ 程度を示している。

4 および

造成した砂層での試験結果を示したが、資料が少なく、測定項目も限られたやり方であつたためその傾向を知るに止まつた。さらに測定を重ねる

予定である。終りに実験に助かいただいた三信基礎工業の方へ、卒業生の皆様へ感謝致します。また九州産業大学補償会より実験費の一部に補助を受けたことを附記して謝意を表します。

参考文献

①青木、竹山監修 コンクリートパイルハンドブック 山本堂

図-4 Q_u/Q_c と Γ_d の関係

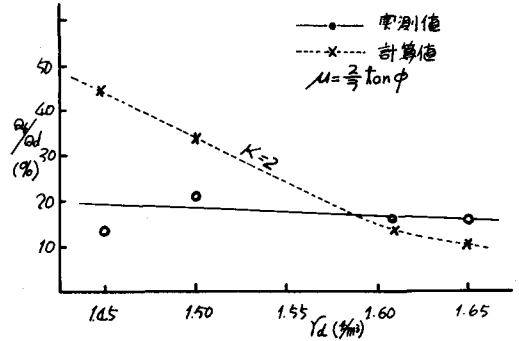


図-5 現地の載荷試験結果

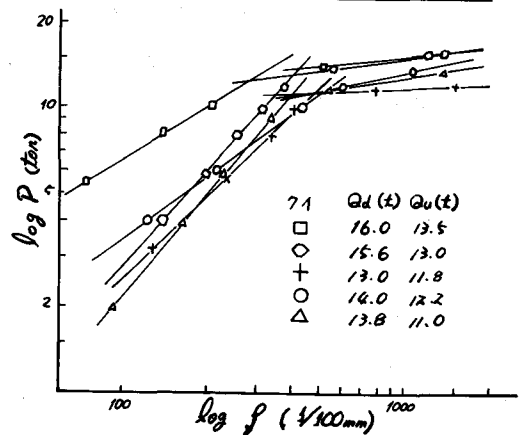


図-6 $\Gamma 1$ の形状と Q_d 、 Q_u の値 (ton)

